

M.B. ПУДОВА

О КОЭФФИЦИЕНТЕ УМЕНЬШЕНИЯ ТРУДОЕМКОСТИ НЕКОТОРЫХ АЛГОРИТМОВ

1. Введение

В [1] были предложены алгоритмы решения задач линейного и квадратичного программирования (ЗЛП и ЗКП), матрицы ограничений или квадратичной формы которых имеют блочную с окаймлением структуру, а именно, первые строки являются разреженными [2] подматрицами, а далее по диагонали расположены непересекающиеся блоки, рис. 1 а).

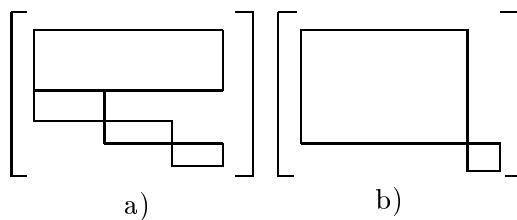


Рис. 1. а) блочная с окаймлением матрица, б) “почти заполненная матрица”.

Подобные задачи возникают, например, при исследовании оптимальных стратегий функционирования иерархических систем. Существуют алгоритмы решения этих задач, основанные на методах декомпозиции ([3], [4]), а также алгоритмы, предложенные в [5]–[7]. Последние алгоритмы основываются на методе последовательного улучшения плана [8]. С тех пор появились новые методы, имеющие полиномиальную трудоемкость. В данной работе для решения задач математического программирования, имеющих блочную с окаймлением структуру, предлагаются модификации некоторых полиномиальных алгоритмов и одного алгоритма, для которого не доказана полиномиальная трудоемкость.

Для того чтобы оценить эффективность предложенных алгоритмов, в [1] был введен *коэффициент уменьшения трудоемкости* (КУТ), равный отношению трудоемкости алгоритма, учитывающего структуру задачи, к трудоемкости универсального алгоритма. Кроме того, были приведены оценки коэффициентов уменьшения трудоемкости для рассмотренных алгоритмов. При выводе этих оценок не накладывалось никаких условий на соотношение размерностей окаймления и блоков. Таким образом, не исключался случай, когда один из блоков будет иметь большую размерность, т. е. матрица будет “почти заполненной” (вид такой матрицы приведен на рис. 1 б)). В данной работе КУТ оцениваются для тех же алгоритмов, но при дополнительных ограничениях, исключающих ситуацию “почти заполненности”.

Вычислительные схемы, предложенные в работе, основаны на четырех методах: Кармаркара, Ринальди, симплексных погружений Анциферова, методе Дикина. Выбор методов для исследования был обусловлен следующими соображениями: метод Кармаркара имеет наилучшую теоретическую оценку трудоемкости среди алгоритмов, в которых допустимая область

Работа выполнена при поддержке Российского фонда фундаментальных исследований (проекты 03-01-00877 и 00-15-98884) и совета по грантам при президенте Российской Федерации № НШ-80.2003.6.

аппроксимируется эллипсоидами [9]. Он сформулирован для задач линейного программирования, ограничения и оптимальное значение целевой функции которых имеют специальный вид. Метод Ринальди [10] позволяет решать задачи более общего вида. Формулы, реализующие метод Дикина [11], предложенный в 1967 г., совпадают с формулами модификации метода Кармакара для решения задач линейного программирования в каноническом виде [12].

Метод симплексных погружений [13] принадлежит к другому классу задач, в которых допустимая область аппроксимируется не эллипсоидами, а симплексами.

Существуют несколько работ, посвященных применению метода Кармакара к решению ЗЛП со структурированными матрицами. В [14] предложена модификация метода Кармакара для ЗЛП с разреженной матрицей произвольного вида. В [15] приводится модификация метода Кармакара для решения ЗЛП с матрицей, имеющей некоторую (не уточненную) специальную структуру. При построении этой модификации использована идея декомпозиции Данцига–Булфа. В [16] исследуется решение ЗЛП с блочной (без окаймления) матрицей. К сожалению, во всех этих работах вопрос об эффективности предложенных модификаций исследуется только экспериментально.

Введем обозначение для КУТ — Ω_L , где L идентифицирует метод, на основе которого построен новый алгоритм. Здесь $L = C$ для метода симплексных погружений, $L = K$ для метода Кармакара, $L = D$ для метода Дикина и $L = R$ для метода Ринальди.

Приведем теперь математическую формулировку решаемых задач.

2. Постановка задачи

Рассматриваются задачи линейного или квадратичного программирования в следующей форме: найти минимум линейной формы

$$\sum_{j=1}^N c_j x_j \quad (1)$$

или квадратичного функционала

$$H(x) = \sum_{i=1}^M \left(\sum_{j=1}^N a_{ij} x_j - b_i \right)^2 \quad (2)$$

при условиях

$$\alpha_j \leq x_j \leq \beta_j, \quad 1 \leq j \leq N, \quad (3)$$

и

$$Ax = b. \quad (4)$$

Предполагаем, что матрица A имеет блочную с окаймлением структуру: первые m строк есть матрица размера $m \times N$, а строки с $m+1$ по M — последовательность R непересекающихся блоков, расположенных по диагонали. Размеры блоков $m_r \times n_r$, $r = 1, \dots, R$. Формально эти условия можно записать следующим образом: $A = (A_{ij})$,

$$A_{ij} = \begin{cases} a_{ij}, & \text{если } i \leq m \text{ или } \left(m + \sum_{l=1}^{r-1} m_l < i \leq m + \sum_{l=1}^r m_l \wedge \right. \\ & \left. \wedge \sum_{l=1}^{r-1} n_l < j \leq \sum_{l=1}^r n_l \text{ для некоторого } r \right); \\ 0 & \text{в противном случае.} \end{cases} \quad (5)$$

Будем считать, что на размерности блоков наложены дополнительные ограничения

$$n_r = \frac{N}{R}(1 + \nu_r), \quad m_r = \frac{M - m}{R}(1 + \varepsilon_r), \quad \text{где } |\nu_r| < \frac{1}{2}, \quad |\varepsilon_r| < \frac{1}{2}, \quad r = 1, \dots, R. \quad (6)$$

Выполнение последнего условия исключает ситуацию “почти заполненности”. Кроме того, предполагаем, что матрица A имеет большую размерность: $N > 10^3$, $M > 10^3$.

3. Оценка КУТ вычислительной схемы, основанной на методе симплексных погружений

В этом и последующих разделах вначале приводится алгоритм решения ЗЛП либо ЗКП с матрицей общего вида, а далее — вычислительная схема, модифицированная для решения задачи, матрица ограничений или функционала которой удовлетворяет условиям (5).

Рассмотрим процесс решения задачи (2), (3) методом симплексных погружений (доказательство его полиномиальной трудоемкости — в [13]).

Пусть в R^N задан N -мерный симплекс S_N^k , определяемый матрицей

$$X^k = \begin{pmatrix} x_{11}^k & \dots & x_{1N}^k \\ \vdots & \dots & \vdots \\ x_{N+1,1}^k & \dots & x_{N+1,N}^k \end{pmatrix}$$

и содержащий точку минимума x^* задачи (2), (3). Строки матрицы X^k соответствуют вершинам симплекса S_N^k , k — номер итерации. Пусть V^k — объем симплекса S_N^k . Опишем схему итеративного процесса.

1) Найдем центр тяжести \bar{x}^k симплекса S_N^k по формуле

$$\bar{x}_j^k = \frac{1}{N+1} \sum_{i=1}^{N+1} x_{ij}^k, \quad j = 1, \dots, N;$$

2) определим вектор нормали

$$g^k = \nabla H(\bar{x}^k)$$

плоскости, отсекающей часть симплекса S_N^k , и получим усеченный симплекс

$$\tilde{S}^k = \{x \in S_N^k : g^k(x - \bar{x}^k) \leq 0\}$$

для его погружения в симплекс S_N^{k+1} минимального объема;

3) подсчитаем числа

$$\gamma_i^k = g^k(x_i^k - \bar{x}^k), \quad i = 1, \dots, N+1,$$

где x_i^k — i -я строка матрицы X^k ; пусть $I^- = \{i : \gamma_i^k < 0\}$, $I^+ = \{i : \gamma_i^k > 0\}$;

4) определим индекс q из условия

$$\gamma_q^k = \min_{i \in I^-} \gamma_i^k,$$

очевидно, $\gamma_q^k < 0$;

5) найдем точку минимума t^* вогнутой функции

$$\Pi(t) = \prod_{1 \leq i \leq N+1, i \neq q} (1 + \gamma_i^k t)$$

на отрезке $0 \leq t \leq -1/\gamma_q^k$; пусть $q_k = 1/\Pi(t^*)$, следовательно, $q_k < 1$;

6) вычислим

$$v_i^* = 1 + t^* \gamma_i^k, \quad \tau_i^* = 1/v_i^*, \quad i = 1, \dots, N+1, \quad i \neq q;$$

7) пересчитаем вершины симплекса S_N^k по формуле

$$x_i^{k+1} = x_i^k + \tau_i^*(x_i^k - x_q^k), \quad i = 1, \dots, N+1, \quad i \neq q, \quad x_q^{k+1} = x_q^k;$$

новая матрица X^{k+1} будет соответствовать новому симплексу S_N^{k+1} минимального объема, содержащему усеченный симплекс \tilde{S}^k ;

8) подсчитаем объем симплекса по формуле $V^{k+1} = V^k q_k$;

9) если $V^k < \varepsilon$, где ε — заданная точность, то процесс заканчивается; в противном случае заменим k на $k + 1$ и перейдем к п. 1).

При реализации этой схемы наиболее трудоемкой операцией, позволяющей использовать структуру матрицы A , является нахождение градиента целевой функции, определяемого формулой

$$\nabla_j H(x) = 2 \sum_{i=1}^M a_{ij} \sum_{l=1}^N (a_{il} x_l^k - b_i), \quad j = 1, \dots, N. \quad (7)$$

Обозначим выражение в скобках через δ_i . Если матрица A имеет блочную с окаймлением структуру, то

$$\delta_i = \begin{cases} \sum_{j=1}^N (a_{ij} x_j - b_i) & \text{при } i \leq m; \\ \sum_{j=k_r+1}^{k_r+n_r} (a_{ij} x_j - b_i) & \text{при } i = m + i_0, \text{ где } \sum_{l=1}^{r-1} m_l + 1 \leq i_0 \leq \sum_{l=1}^r m_l, \quad k_r = \sum_{l=1}^{r-1} n_l. \end{cases} \quad (8)$$

Вычислительная схема решения ЗКП (2), (3) с окаймленной блочной матрицей функционала таким образом совпадает с описанной выше за исключением п. 2), в котором градиент определяем по формуле

$$\nabla_j H(x) = 2 \left[\sum_{i=1}^m a_{ij} \delta_i + \sum_{i=k+1}^{k+m_r} a_{ij} \delta_i \right], \quad (9)$$

где $k = \sum_{l=1}^{r-1} m_l$, $\sum_{l=1}^{r-1} n_l + 1 \leq j \leq \sum_{l=1}^r n_l$.

Обозначим $\hat{m} = \max\{m, \max_{r=1, \dots, R} m_r\}$ и для оценки трудоемкости предложенного алгоритма докажем следующее утверждение.

Лемма 1. Коэффициент уменьшения трудоемкости $\Omega_C \geq O(\hat{m}/M)$.

Доказательство. Число итераций для реализации алгоритма, основанного на методе симплексных погружений, совпадает с числом итераций, необходимых для решения задачи общего вида этим методом. Поэтому число операций уменьшается за счет более экономного осуществления итерации. В ситуации, когда матрица A общего вида, для нахождения градиента по формуле (7) требуется $O(NM)$ операций, а все остальные действия для выполнения одной итерации можно проделать за $O(N^2)$ операций. Всего для выполнения одной итерации метода симплексных погружений необходимо $O(N^2 + NM)$ операций.

Из (8) и (9) следует, что число операций для нахождения градиента в блочном случае равно $O(Nm + Nm^r + n^r(M - m))$, где $n^r = \max_{1 \leq i \leq R} \{n_i\}$, а $m^r = \max_{1 \leq i \leq R} \{m_i\}$. Трудоемкость остальных действий для выполнения итерации совпадает с общим случаем. Поэтому трудоемкость выполнения итерации вычислительной схемы, основанной на методе симплексных погружений, равна $O(N^2 + Nm + Nm^r + n^r(M - m))$. Тогда

$$\Omega_C = O\left(\frac{N^2 + Nm + Nm^r + n^r(M - m)}{N^2 + NM}\right) = O\left(\frac{N^2 + Nm + Nm^r}{N^2 + NM}\right) + O\left(\frac{n^r(M - m)}{N(M + N)}\right).$$

Так как

$$O\left(\frac{N^2 + Nm + Nm^r}{N^2 + NM}\right) > O\left(\frac{m + m^r}{N + M}\right) > O\left(\frac{\hat{m}}{M}\right),$$

то

$$\Omega_C \geq O\left(\frac{\hat{m}}{M}\right) + O\left(\frac{n^r(M - m)}{N(M + N)}\right) \geq O\left(\frac{\hat{m}}{M}\right). \quad \square$$

4. Оценка КУТ для вычислительной схемы, основанной на методе Кармаркара

В [9] доказана сходимость метода Кармаркара, если решается ЗЛП в частном виде:

$$\begin{aligned} & \sum_{j=1}^N c_j x_j \rightarrow \min, \\ & Ax = 0, \quad \sum_{j=1}^N x_j = 1, \quad x_j \geq 0, j = 1, \dots, N. \end{aligned} \tag{10}$$

При этом предполагается, что

- 1) $x_0 = e/N$, где $e = (1, \dots, 1)^T$, является допустимой точкой;
- 2) если x^* — оптимальное решение, то $cx^* = 0$.

Опишем k -ю итерацию алгоритма Кармаркара, считая, что точка x^k удовлетворяет (10).

Вначале на шагах 1.1–1.5 вычисляется следующая точка последовательности:

$$x^{k+1} = \phi(x^k).$$

1.1. Пусть

$$B = \begin{pmatrix} AD^k & \\ 1 & \dots & 1 \end{pmatrix},$$

где $D^k = \text{diag}(x_1^k, \dots, x_N^k)$;

1.2. вычисляем ортогональную проекцию $D^k \bar{c}$ в нуль-пространстве преобразования B

$$\bar{c}_p = [E - B^T(BB^T)^{-1}B]D\bar{c}, \tag{11}$$

обращение матрицы BB^T производится по формуле одноранговой модификации за $O(M^2\sqrt{N})$ операций;

1.3. нормируем вектор c_p

$$c = \frac{\bar{c}_p}{\|\bar{c}_p\|};$$

1.4. определяем сдвиг

$$\phi'(x^k) = \frac{1}{N} - \frac{\gamma}{\sqrt{N(N-1)}}c,$$

где $\gamma \in (0, 1)$ — параметр;

1.5. применяем обратное проективное преобразование к $\phi'(x^k)$

$$\phi(x^k) = \frac{D^k \phi'(x^k)}{e^T D^k \phi'(x^k)}.$$

Далее проверяем точку x^{k+1} на недопустимость.

Определим потенциальную функцию как

$$f(x) = \sum_{i=1}^N \ln \frac{c x}{x_i}.$$

Если $f(x^{k+1}) > f(x^k) - \delta$, где $\delta = \ln(1 + \gamma)$, то вычисления останавливаются и делается заключение о том, что значение целевой функции строго положительно. Если каноническая форма задачи получена путем преобразования задачи линейного программирования в стандартной форме, то делается вывод, что исходная задача не имеет конечного оптимального решения.

В заключение проверяем точку x^{k+1} на оптимальность. Эта проверка производится периодически и включает переход из текущей точки в граничную точку без увеличения значения целевой функции и проверку этой граничной точки на оптимальность. Если $cx^{k+1} > 0$, повторяем итерацию алгоритма, т. е. переходим на шаг 1.1.

Модификацию метода Кармакара будем строить для ЗЛП (10) такой, что ее матрица ограничений A имеет блочную с окаймлением структуру. Условия 1) и 2) для этой задачи также выполняются. Модификация состоит в более экономном умножении матрицы A на вектор-столбец p и векторы-строки q на матрицу A при определении ортогональной проекции по формуле (11). Эти умножения выполняются по формулам

$$(Ap)_i = \begin{cases} \sum_{j=1}^N (a_{ij}p_j), & \text{если } i \leq m; \\ \sum_{j=k_r+1}^{k_r+n_r} (a_{ij}p_j), & \text{если } i = m + i_0, \text{ где } \sum_{l=1}^{r-1} m_l + 1 \leq i_0 \leq \sum_{l=1}^r m_l, \quad k_r = \sum_{l=1}^{r-1} n_l, \end{cases}$$

$$(qA)_j = \sum_{i=1}^m a_{ij}q_i + \sum_{i=k+1}^{k+m_r} a_{ij}q_i, \quad \text{где } k = \sum_{l=1}^{r-1} m_l, \quad \sum_{l=1}^{r-1} n_l + 1 \leq j \leq \sum_{l=1}^r n_l.$$

Таким образом, вычислительная схема предлагаемого алгоритма решения рассматриваемой ЗЛП совпадает с приведенной, кроме шага 1.2.

Справедлива

Лемма 2. Коэффициент уменьшения трудоемкости Ω_K больше $1/6$ в случае, когда $\sqrt{N} \leq M$, и не меньше $O(\hat{m}/M)$ в противном случае.

Доказательство. Оценим число операций, необходимых для выполнения итерации метода Кармакара в случае, когда матрица A не обладает специальной структурой. Для построения матрицы B необходимо $O(NM)$ операций; вычисление $D\bar{c}$ из (11) требует $O(N)$ операций; вычисление $BD\bar{c}$ требует $O(2NM)$ операций (в отличие от общепринятой методики оставим у выражения NM коэффициент 2); вычисление $(BB^T)^{-1}$ требует $O(M^2\sqrt{N})$ операций (алгоритм с данной трудоемкостью предложен в [9]); вычисление $(BB^T)^{-1}BD\bar{c}$ требует $O(M^2)$ операций; вычисление $B^T(BB^T)^{-1}BD\bar{c}$ требует $O(2NM)$ операций. Всего в этой ситуации итерация выполняется за $O(5NM + M^2\sqrt{N})$ операций (величины порядка N и M^2 можем пропустить).

Число итераций в общем случае и для решения задач со специальной структурой одинаково. В случае блочной матрицы ограничений вычисление $BD\bar{c}$ требует $O(Nm + n^r(M - m))$ операций; вычисление $(BB^T)^{-1}$ требует $O(M^2\sqrt{N})$ операций; вычисление $(BB^T)^{-1}BD\bar{c}$ требует $O(M^2)$ операций; вычисление $B^T(BB^T)^{-1}BD\bar{c}$ требует $O(N(m + m^r))$ операций. Итого, итерация выполняется за $O(Nm + n^r(M - m) + M^2\sqrt{N} + N(m + m^r))$ операций. Следовательно,

$$\Omega_K = O\left(\frac{Nm + n^r(M - m) + M^2\sqrt{N} + N(m + m^r)}{5NM + M^2\sqrt{N}}\right)$$

и после оценки получим

$$\Omega_K \geq O\left(\frac{M^2\sqrt{N}}{5NM + M^2\sqrt{N}}\right) > 1/6 \quad \text{при } M \geq \sqrt{N}.$$

Вторая ситуация заключается в том, что $M < \sqrt{N}$. Тогда

$$\Omega_K \geq O\left(\frac{Nm + Nm^r}{5NM}\right) \geq O\left(\frac{\hat{m}}{M}\right). \quad \square$$

5. Оценка КУТ вычислительной схемы, основанной на методе Ринальди

В развитие идей Кармакара в [10] рассматривается алгоритм решения задачи: минимизировать функцию (1) при ограничениях (4) и

$$0 \leq x_j \leq 1/N, \quad j = 1, \dots, N. \quad (12)$$

Очевидно, задача (1), (3), (4) сводится к (1), (4), (12).

Рассмотрим задачу (1), (4), (12) при предположениях

- 1) $c^T x^* = 0$, где x^* — решение (1), (4), (12);
- 2) точка $\frac{1}{2N}e$ допустима для этой задачи и $c^T e > 0$;
- 3) A имеет ранг M .

Опишем алгоритм.

Шаг 1. Начинаем с точки $x^0 = \frac{1}{2N}e$; положим $D_0 = \frac{1}{2N}I$.

Шаг 2. Поиск направления. Положим

$$d^k = [I - J_k^T A^T (A J_k H_k^{-1} J_k^T A^T)^{-1} A J_k H_k^{-1}] D_k c,$$

$$b_k = [(d^k)^T H_k^{-1} d^k]^{-1/2} H_k^{-1} d^k,$$

где

$$G_k = \frac{1}{N}I - D_k,$$

$$F_k = \frac{1}{N}e^T G_k^{-1} e D_k + \frac{1}{N}ee^T(I - G_k^{-1} D_k),$$

$$J_k = \frac{1}{N}e^T G_k^{-1} e D_k + D_k ee^T(I - G_k^{-1} D_k),$$

$$H_k = I + \frac{1}{(e^T G_k^{-1} e)} F_k^T G_k^{-2} F_k = I + D_k^2 G_k^{-2} + v_k u_k^T + u_k v_k^T.$$

Здесь $u = (I - D_k G_k^{-1})e$, а

$$v = \frac{1}{2} \frac{e^T G_k^{-2} e}{(e^T G_k^{-1} e)^2} D_k G_k^{-2} e.$$

(Заметим, что при таком представлении матрица H_k является суммой двух диагональных матриц и двух матриц $v_k u_k^T$ и $u_k v_k^T$, имеющих ранг, равный 1. Поэтому обращение матрицы H_k можно выполнить за $O(N^2)$ операций по формуле

$$(P + uv^T + vu^T)^{-1} = P^{-1} - \frac{1}{1+b} P^{-1} (uv^T + vu^T) P^{-1} + \frac{1}{(1+a)^2 - cd} P^{-1} (duu^T + cvv^T) P^{-1},$$

где P — диагональная матрица, $a = v^T P^{-1} u$, $b = a - cd/(1+a)$, $c = u^T P^{-1} u$, $d = v^T P^{-1} v$.)

Шаг 3. Положим

$$x^{k+1} = \frac{1}{N} \left(1 + \alpha \sqrt{\frac{2N}{2N-1}} \frac{e^T(I - G_k^{-1} D_k) b^k}{e^T G_k^{-1} e} \right)^{-1} \left(x^k - \alpha \sqrt{\frac{2N}{2N-1}} D_k b^k \right)$$

и

$$D_{k+1} = \text{diag}(x_1^{k+1}, \dots, x_N^{k+1}).$$

Шаг 4. Если $c^T x^{k+1} / c^T x^k \leq 2^{-p}$, то процесс завершен; иначе переходим на шаг 1.

Структуру матрицы ограничений будем учитывать при вычислении матрицы $A J_k H_k^{-1} J_k^T A^T$, а также при умножении матриц A и A^T на N -мерные и M -мерные векторы соответственно.

Оценку КУТ метода Ринальди для блочной матрицы ограничений дает

Лемма 3. Коэффициент уменьшения трудоемкости $\Omega_R \geq O(m/M)$.

Для доказательства леммы 3, как и раньше, заметим, что число итераций для реализации метода при решении задачи (1), (4), (12) со специальной структурой совпадает с числом итераций, необходимых для решения аналогичной задачи общего вида.

Трудоемкость выполнения одной итерации в общем случае такова: для нахождения матриц G_k , F_k , J_k и H_k необходимо $O(N^2)$ операций; для обращения матрицы H_k , как отмечалось ранее, требуется $O(N^2)$ операций; при вычислении d_k наиболее трудоемкой частью является нахождение $AJ_kH_k^{-1}J_k^TA^T$ и ее обращение, а все остальные операции представляют собой умножение матрицы на вектор и могут быть выполнены за $O(N^2)$ операций. Определение матрицы $AJ_kH_k^{-1}J_k^TA^T$ требует в общем случае $O(NM(N+M))$ операций; очевидно, эта матрица является симметричной и положительно определенной, если A имеет ранг, равный M . Ее обращение может быть выполнено за $O(M^3)$ операций. Общее число операций, необходимых для выполнения одной итерации метода Ринальди без учета структуры матрицы ограничений, равно $O(N^2M + NM^2 + M^3)$.

В случае блочной матрицы A умножение ее на J_k слева требует $O\left(N^2m + NM_r \sum_{r=1}^R n_r\right) = O(N^2(m+m^r))$ операций, а умножение на A^T справа матрицы размера $M \times N$ требует $O\left(NMm + M \sum_{r=1}^R n_r m^r\right) = O(NM(m+m^r))$ операций. Трудоемкость остальных действий по выполнению итерации совпадает с общим случаем. Всего для выполнения одной итерации в блочном случае необходимо $O((N^2 + NM)(m+m^r) + M^3)$ операций. Тогда

$$\begin{aligned}\Omega_R &= \frac{O((N^2 + NM)(m+m^r) + M^3)}{O(N^2M + NM^2 + M^3)} = \frac{O(N^2m + NMm + M^3)}{O(N^2M + NM^2 + M^3)} + \\ &\quad + \frac{O(N^2m_r + NMm^r)}{O(N^2M + NM^2 + M^3)} \geq \frac{O(N^2\hat{m} + NM\hat{m} + M^3)}{O(N^2M + NM^2 + M^3)} > O\left(\frac{\hat{m}}{M}\right).\end{aligned}\quad \square$$

6. Оценка КУТ вычислительной схемы, основанной на методе Дикина

Алгоритм метода внутренней точки (метода Дикина) для ЗЛП (1), (3), (4) состоит из двух этапов [11]. Первый этап заключается в нахождении допустимой точки, удовлетворяющей условиям (3), (4); второй — в нахождении оптимума. Опишем оба этих этапа.

I. Нахождение допустимой точки.

1.0. Определяется точка x^0 , удовлетворяющая (3),

$$x_j^0 = (\alpha_j + \beta_j)/2, \quad j = 1, \dots, N, \quad (13)$$

и далее для нахождения точки, лежащей в области (3), (4), выполняется следующий итерационный процесс;

1.1. вычисляются величины

$$\sigma_j^k = \min[(x_j^k - \alpha_j)^2, (\beta_j - x_j^k)^2], \quad j = 1, \dots, N; \quad (14)$$

1.2. решается система линейных уравнений

$$\sum_{t=1}^M b_{st}^k u_t^k = r_s^k, \quad s = 1, \dots, M, \quad (15)$$

где $b_{st}^k = \sum_{j=1}^N \sigma_j^k a_{sj} a_{tj}$, $s, t = 1, \dots, M$, а правые части определяются по формулам $r_i^k = b_i - \sum_{j=1}^N a_{ij} x_j^k$, $i = 1, \dots, M$;

1.3. находятся двойственные невязки

$$\delta_j^k = \sum_{i=1}^M a_{ij} u_i^k, \quad j = 1, \dots, N;$$

1.4. вычисляется функционал

$$\Phi^k = \sum_{j=1}^N \sigma_j^k (\delta_j^k)^2; \quad (16)$$

1.5. определяется направление спуска

$$s_j^k = \delta_j^k \sigma_j^k, \quad j = 1, \dots, N; \quad (17)$$

1.6. осуществляется итерационный переход по формулам

$$x_j^{k+1} = x_j^k + \lambda_k s_j^k, \quad j = 1, \dots, N, \quad \text{где} \\ \lambda_k = \min(1, \varphi_k),$$

$$\varphi_k = \max(\rho \mu_k, (\Phi^k)^{-1/2}), \quad 0.5 \leq \rho \leq 1, \\ \mu_k = \min(\mu'_k, \mu''_k),$$

$$\mu'_k = \min_{1 \leq j \leq N} [(x_j^k - \alpha_j)/s_j^k], \quad \mu''_k = \min_{1 \leq j \leq N} [(\beta_j - x_j^k)/s_j^k].$$

Если евклидова норма $\|r^k\| \leq \varepsilon$, то точка x^k , удовлетворяющая (3), (4), получена. В противном случае процесс продолжается, если $\sqrt{\Phi^k} > \varepsilon$, а ситуация, когда $\sqrt{\Phi^k} \leq \varepsilon$, соответствует случаю отсутствия допустимого решения ЗЛП (1), (3), (4).

II. Нахождение оптимального решения ЗЛП (1), (3), (4) производится с помощью процесса 1.1–1.6, в котором

правые части СЛУ в п. 1.2 вычисляются по формуле $r_i^k = \sum_{j=1}^N c_j \sigma_j^k a_{ij}$, $i = 1, \dots, M$,
двойственные невязки в п. 1.3 находятся по формуле

$$\delta_j^k = \sum_{i=1}^M a_{ij} u_i^k - c_j, \quad j = 1, \dots, N,$$

итерационный переход выполняется по правилу

$$x_j^{k+1} = x_j^k + \lambda_k s_j^k, \quad j = 1, \dots, N, \quad \text{где} \\ \lambda_k = \max(\rho \mu_k, \varphi_k),$$

а величина φ_k вычисляется по формуле (19).

Если $\sqrt{\Phi^k} < \varepsilon$, то вычисления прекращаются и вектор x^{k+1} полагается решением ЗЛП (1), (3), (4).

Для того чтобы построить эффективный алгоритм решения ЗЛП в случае, когда матрица A блочная с окаймлением, покажем сначала, что матрица СЛУ $\|b_{st}\|$ также имеет специальную структуру.

Лемма 4. Если матрица A является блочной с окаймлением, то симметричная матрица $\|b_{st}^k\|$ является блочной с окаймлением, у которой первые t строк и столбцов — матрицы размера $M \times t$ и $t \times M$ соответственно, а матрица, составленная из последних $(M - t)$ строк и столбцов, блочно-диагональная, состоящая из R блоков размера $t_r \times t_r$.

Доказательство. Если матрица A блочная, то в силу п. 1.2

$$b_{st}^k = \begin{cases} \sum_{j=1}^N \sigma_j a_{sj} a_{tj}, & \text{если } 1 \leq s, t \leq m \quad (b_{st} \text{ из окаймления}); \\ \sum_{j=l+1}^{l+n_r} \sigma_j a_{sj} a_{tj}, & \text{если } s = m + p, \quad \sum_{k=1}^{r-1} m_k < p \leq \sum_{k=1}^r m_k \text{ или} \\ & t = m + q, \quad \sum_{k=1}^{r-1} m_k < q \leq \sum_{k=1}^r m_k; \quad l = \sum_{k=1}^{r-1} n_k \quad (b_{st} \text{ из } r\text{-го блока}); \\ 0 & \text{иначе,} \end{cases} \quad (20)$$

$s, t = 1, \dots, M$.

Формулы (20) с очевидностью обосновывают утверждение леммы. \square

Из этих формул также следует, что матрицу $B^k = \|b_{st}^k\|$ можно представить в виде

$$B = \begin{bmatrix} V & Y_1 & \cdot & \cdot & Y_R \\ Y_1^T & D_1 & \cdot & \cdot & \cdot \\ \cdot & \cdot & \cdot & \cdot & \cdot \\ Y_R^T & \cdot & \cdot & \cdot & D_R \end{bmatrix},$$

где V, Y_r и D_r — матрицы размеров $m \times m, m \times m_r, m \times m_r$ соответственно.

Лемма 4 позволяет конструировать итеративный алгоритм решения блочных с окаймлением ЗЛП, основанный на методе Дикина.

Начальная точка в этом алгоритме вычисляется по формуле (13), а k -я итерация имеет следующий вид.

- 2.1. Величины σ_j^k находятся по формуле (14);
- 2.2. определяются правые части СЛУ (15): $r_i^k = b_i - \gamma_i^k$, где

$$\gamma_i^k = \begin{cases} \sum_{j=1}^N a_{ij} x_j^k, & \text{если } i \leq m; \\ \sum_{j=s+1}^{s+n_r} a_{ij} x_j^k, & \text{если } i = m + i_0 \wedge \left(\sum_{l=1}^{r-1} m_l + 1 \leq i_0 \leq \sum_{l=1}^r m_l \right), \quad s = \sum_{l=1}^{r-1} n_l; \end{cases}$$

2.3. элементы матрицы $\|b_{st}^k\|$ вычисляются по формулам (20);

2.4. решается система уравнений

$$\sum_{t=1}^m v_{st}^* y_t^k = e_s^k, \quad 1 \leq s \leq m,$$

где матрица $V^* = \|v_{st}^*\|$ определяется по формуле

$$V^* = V - \sum_{i=1}^R Y_i D_i^{-1} Y_i^T, \quad (21)$$

правые части считаются по формуле

$$e_s^k = r_s^k - \left(\sum_{l=1}^R Y_l D_l^{-1} r^l \right)_s, \quad s = 1, \dots, m,$$

где r^l — m_l -мерный вектор, состоящий из компонент вектора r , соответствующих l -му блоку D_l матрицы $B^k = \|b_{st}^k\|$;

- 2.5. находятся векторы

$$f^i = D_i^{-1} (r^i - Y_i^T y^k), \quad i = 1, \dots, R;$$

2.6. определяются двойственные невязки

$$\delta_j = \sum_{i=1}^m a_{ij} u_i^k + \sum_{i=l}^{l+m_r} a_{ij} f_i^r,$$

где $l = m + \sum_{s=1}^{r-1} m_s + 1$, если $\sum_{s=1}^{r-1} n_s \leq j \leq \sum_{s=1}^r n_s$;

2.7. вычисляется функционал Φ^k по формуле (16);

2.8. определяется направление спуска по формуле (17);

2.9. итерационный переход делается по формулам (18)–(19).

Критерий остановки поиска допустимой внутренней точки аналогичен критерию остановки процесса 1.1–1.6.

Нахождение решения ЗЛП осуществляется с помощью описанного выше процесса 2.1–2.9. При этом в п. 2.2 для вычисления величин r_i^k используются формулы

$$r_i^k = \begin{cases} \sum_{j=1}^N a_{ij} \sigma_j^k c_j, & \text{если } i \leq m; \\ \sum_{j=s+1}^{s+n_r} a_{ij} \sigma_j^k c_j, & \text{если } i = m + i_0 \wedge \left(\sum_{l=1}^{r-1} m_l \leq i_0 \leq \sum_{l=1}^r m_l \right), \quad s = \sum_{l=1}^{r-1} n_l, \end{cases}$$

а формулы п. 2.6 для нахождения двойственных невязок второго этапа необходимо дополнить вычитанием величин c_j из полученных в них сумм.

Лемма 5. Матрица $V^* = \|v_{st}^*\|$ симметрична и положительно определена.

Доказательство. Используя свойство симметричности матрицы B^k , из формулы (21) получаем

$$v_{ji}^* = b_{ji}^k - \sum_{s=m+1}^M b_{js}^k b_{si}^k / b_{ss}^k = b_{ij}^k - \sum_{s=m+1}^M b_{sj}^k b_{ij}^k / b_{ss}^k = v_{ij}^*, \quad i, j = 1, \dots, m.$$

Следовательно, V^* симметрична.

Докажем теперь положительную определенность матрицы V^* . Очевидно, $V^* = V - Y D^{-1} Y^T$, где D — блочно-диагональная матрица размера $(M-m) \times (M-m)$, блоками которой являются матрицы D_r , а Y — матрица вида $[Y_1 | \dots | Y_R]$.

Умножим матрицу B^k слева на P и справа на P^T , где

$$P = \begin{bmatrix} E_m & -Y_1 D_1^{-1} & \cdot & \cdot & \cdot \\ 0 & E_{m_1} & \cdot & \cdot & \cdot \\ \cdot & \cdot & \cdot & \cdot & \cdot \\ 0 & \cdot & \cdot & \cdot & E_{m_R} \end{bmatrix},$$

а E_i — единичные матрицы размера $i \times i$. Тогда

$$PB^k P^T = \begin{bmatrix} V - Y D^{-1} Y^T & 0 \\ 0 & D \end{bmatrix}.$$

В левом верхнем углу матрицы $PB^k P^T$ стоит матрица V^* . Пусть $x^* = (x_1^*, \dots, x_m^*)^T \neq 0$ — произвольный вектор. Положим $x = (x_1^*, \dots, x_m^*, 0, \dots, 0)^T$ — M -мерный вектор, а $x' = P^T x$. Тогда

$$(V^* x^*, x^*) = (PB^k P^T x, x) = (B^k P^T x, P^T x) = (B^k x', x') > 0$$

в силу положительной определенности матрицы B^k . Следовательно, матрица V^* положительно определена. \square

Опираясь на результат леммы 5, делаем вывод о том, что СЛУ из п. 2.4 можно решать методом квадратного корня.

Оценим теперь коэффициент уменьшения трудоемкости для модифицированного алгоритма Дикина при предположениях (6).

Лемма 6. Если $N > 10^3$, $M > 10^3$ и выполняется (6), то

$$\Omega_D \leq O\left(\frac{\hat{m}^2}{M^2} + \frac{M-m}{RM^2}\right). \quad (22)$$

Доказательство. В ситуации, когда матрица A имеет общий вид, из формул 1.1–1.6 следует, что вычисление σ_j^k , $j = 1, \dots, N$, требует $O(N)$ операций; построение матрицы B^k требует $O(NM^2)$ операций; подсчет правых частей СЛУ (15) требует $O(NM)$ операций; ее решение требует $O(M^3)$ операций; двойственные невязки 1.3 (с. 57) определяются за $O(NM)$ операций; все остальные действия в процессе 1.1–1.6 (сс. 57, 58) требуют $O(N)$ операций. Всего одна итерация выполняется за $O(NM^2 + M^3 + NM)$ операций.

Если матрица A имеет блочную структуру, то определение вектора r^k требует $O\left(Nm + \sum_{r=1}^R n_r m_r\right)$ операций; матрица B^k по формулам (20) строится за $O\left(Nm^2 + m \sum_{r=1}^R n_r m_r\right)$ операций; составление матрицы V^* по формуле (21) требует $O\left(\sum_{r=1}^R m_r^3 + m \sum_{r=1}^R m_r^2 + m^2(M-m)\right)$ операций; вектор правых частей e^k ищется за $O(m(M-m))$ операций; решение системы из 2.4 (с. 59) требует $O(m^3)$ операций; компоненты вектора f_i находятся за $O\left(\sum_{r=1}^R m_r^2\right)$ операций; двойственные невязки считаются за $O\left(Nm + \sum_{r=1}^R n_r m_r\right)$ операций; остальные действия имеют такую же трудоемкость, как в общем случае. Всего на выполнение одной итерации в блочном случае необходимо

$$O\left(Nm^2 + m^3 + m \sum_{r=1}^R n_r m_r + \sum_{r=1}^R m_r^3 + m \sum_{r=1}^R m_r^2 + m^2(M-m) + \sum_{r=1}^R n_r m_r + \sum_{r=1}^R m_r^2 + m(M-m) + Nm\right)$$

операций. Так как число итераций решения ЗЛП в общем виде равно числу итераций решения ЗЛП с блочной матрицей ограничений, КУТ равен

$$\begin{aligned} \Omega_D = O\left(\frac{Nm^2 + m^2(M-m) + m^3 + Nm + m(M-m)}{NM^2 + NM + M^3}\right) + \\ + O\left(\frac{\sum_{r=1}^R m_r^3 + m \sum_{r=1}^R m_r^2 + m \sum_{r=1}^R n_r m_r + \sum_{r=1}^R n_r m_r + \sum_{r=1}^R m_r^2}{NM^2 + NM + M^3}\right). \end{aligned} \quad (23)$$

Оценим первое слагаемое

$$\begin{aligned} O\left(\frac{Nm^2 + m^2(M-m) + m^3 + Nm + m(M-m)}{NM^2 + NM + M^3}\right) &\leq \\ &\leq O\left(\frac{m^2}{M^2} \frac{N+M+m}{N+M+N/M} + \frac{m}{M^2} \frac{N+M}{N+M+N/M}\right) \leq \\ &\leq O\left(\frac{m^2}{M^2} \frac{N+M+m}{N+M} + \frac{m}{M^2} \frac{N+M}{N+M+N/M}\right) \leq O\left(\frac{m^2}{M^2}\right). \end{aligned}$$

Оценим второе слагаемое. Так как $m^r = \max_{r=1,\dots,R} \{m_r\}$, то

$$\begin{aligned} O\left(\frac{\sum_{r=1}^R m_r^3 + m \sum_{r=1}^R m_r^2 + m \sum_{r=1}^R n_r m_r + \sum_{r=1}^R n_r m_r + \sum_{r=1}^R m_r^2}{NM^2 + NM + M^3}\right) &\leq \\ &\leq O\left(\frac{(m^r)^3 + m(m^r)(M-m) + Nmm^r + Nm^r + m^r(M-m)}{NM^2 + NM + M^3}\right) \leq \\ &\leq \frac{\hat{m}^2}{M^2} \frac{m^r + M - m + N}{N + M} + \frac{m^r}{M^2} \frac{N + M - m}{N + M}. \end{aligned}$$

Учитывая (6), получим $m^r < \frac{3}{2} \frac{M-m}{R}$. Тогда $\frac{m^r}{M^2} \leq \frac{3}{2} \frac{M-m}{RM^2}$. Величины m и m^r малы по сравнению с величинами N и M . Поэтому $(N+M-m)/(N+M)$ и $(m^r+N+M-m)/(N+M)$ близки к единице. Следовательно, второе слагаемое из (23) можно оценить сверху величиной $O\left(\frac{\hat{m}^2}{M^2} + \frac{M-m}{RM^2}\right)$. Итак, (22) выполнено. \square

В заключение заметим, что если под эффективным учетом структуры ЗЛП понимать коэффициент уменьшения трудоемкости вычислений этой задачи, то справедливо

Утверждение. *Наиболее эффективно учитывать структуру блочной с окаймлением матрицы ограничений позволяет вычислительная схема, основанная на методе Дикина.*

Доказательство очевидностью следует из лемм 1, 2, 3 и 6.

Литература

1. Анцыз С.М., Пудова М.В. *Методы внутренней точки для решения задач со специальной структурой*. – Новосибирск: Изд-во ИМ СО РАН, 1997. – № 44. – 27 с.
2. Писсанецки С. *Технология разрезенных матриц*. – М: Мир, 1988. – 410 с.
3. Данциг Дж. *Линейное программирование, его применение и обобщения*. – М.: Прогресс, 1966. – 600 с.
4. Корнаи И., Липтак Т. *Планирование на двух уровнях* // В кн. “Применение математики в экономических исследованиях”. Под ред. В.Ц. Немчинова. – М.: Мысль, 1965. – Т. 3. – С. 495.
5. Рубинштейн Г.Ш. *О решении задач линейного программирования большого объема* // Оптимальное планирование. – Новосибирск: Наука, 1964. – Вып. 2. – С. 3–22.
6. Звягина Р.А. *Задачи линейного программирования с блочно-диагональными матрицами* // Оптимальное планирование. – Новосибирск: Наука, 1964. – Вып. 2. – С. 50–61.
7. Звягина Р.А. *Об общем методе решения задач линейного программирования блочной структуры* // Оптимизация. – Новосибирск, 1971. – Вып. 1. – С. 22–40.
8. Канторович Л.В. *Экономический расчет наилучшего использования ресурсов*. – М: Изд-во АН СССР, 1960. – 348 с.
9. Karmarkar N. *A new polynomial-time algorithm for linear programming* // Combinatorica. – 1984. – № 4. – P. 373–395.
10. Rinaldi G. *A projective method for linear programming with box-type constraints* // Algorithmica. – 1986. – № 1. – P. 517–527.
11. Дикин И.И. *Итеративное решение задач линейного и квадратичного программирования* // ДАН СССР. – 1967. – Т. 174. – С. 747–748.
12. Berne E.K. *A variation on Karmarkar’s algorithm for solving programming problems* // Math. Program. – 1986. – V. 36. – № 2. – P. 174–182.
13. Ащепков Л.Т., Белов Б.И., Булатов В.П. *Методы решения задач математического программирования и оптимального управления*. – Новосибирск: Наука, 1984. – 233 с.
14. Fujisawa K., Kojima M., Nakata K. *Exploiting sparsity in primal-dual interior-point methods for semidefinite programming* // Math. Program. – 1997. – V. 79. – P. 235–255.

15. Todd M.J. *Exploiting special structure in Karmarkar's linear programming algorithm* // Math. Program. – 1988. – V. 41. – № 1. – P. 97–113.
16. Choi I.C., Goldfarb D. *Exploiting special structure in a primal-dual path-following algorithm* // Math. Program. – 1993. – V. 58. – № 2. – P. 33–53.

*Институт математики
Сибирского отделения
Российской Академии наук*

*Поступили
первый вариант 13.03.2000
окончательный вариант 29.01.2002*